

## ФИЗИЧЕСКИЕ ПРОЦЕССЫ ГОРНОГО ПРОИЗВОДСТВА

УДК [622.411:622.274.3]:622.445](083.75)

В.Т. Преслер

### ОПЕРАТИВНЫЕ ОЦЕНКИ ГАЗОВЫДЕЛЕНИЯ НА ВЫЕМОЧНОМ УЧАСТКЕ В ЗАВИСИМОСТИ ОТ НАГРУЗКИ НА ЗАБОЙ

Переход на интенсивные технологии добычи угля с применением высокопроизводительных добывчих комплексов с нагрузкой на забой 10000-20000 т/сут в значительной мере усиливает динамику аэrogазовых процессов на выемочных участках, в целом, и в очистных выработках, в частности. Отсутствие надежных методов прогноза их газовыделения в условиях быстро меняющихся во времени ситуаций, обусловленных изменениями газокинетических свойств пласта по трассе очистной выработки и увеличением нагрузок на забой в несколько раз, осложняет и замедляет процесс внедрения новых технологий добычи угля в действующих шахтах. Угольные шахты с высокопроизводительными забоями оснащаются мощными системами контроля состояния рудничной атмосферы, в основном зарубежного производства, возможности которых по обработке больших потоков оперативной информации, поступающей в режиме реального времени, просто не используются из-за отсутствия соответствующего методического, а значит, и программного обеспечения. В этой связи разработка надежных методов прогноза газообильности очистных выработок, опирающихся на оперативные данные и способы их эффективной обработки, позволяющие извлекать максимум информации о динамике картины аэрогазового состояния с целью ее прогноза на последующие периоды отработки выемочного столба с учетом увеличения нагрузки на забой, является актуальной задачей. Ее решение облегчается в условиях применения способа комбинированного проветривания выемочных участков и полей, основанного на эффекте аэрогазодинамической изоляции атмосферы действующих горных выработок от интенсивных источников газовыделения в выработанном пространстве.

Следует отметить, что использование комбинированных схем проветривания с применением газоотсасывающих вентиляторов позволяет разграничить вклад отдельных источников газовыделения – разрабатываемый пласт в очистную выработку, под- и надработанный массивы - в выработанное пространство. При этом создаются надежные условия раздельного прогноза тенденций в развитии картин аэрогазового состояния в целом

по выемочному участку и картин газовыделения из его источников.

Оперативный прогноз газовыделения на выемочном участке опирается на верхние оценки газовыделения при условии слабой изменчивости газокинетических и геомеханических свойств разрабатываемого пласта на текущем этапе отработки выемочного столба. Получим эти оценки, опираясь на простые базовые модели газовыделения из разрабатываемого пласта и отбитого и транспортируемого угля.

Будем моделировать процесс газовыделения через единичную поверхность забоя посредством функции вида [1]:

$$q_n = q_n(t - \tau) = q_{n,0} \cdot e^{-\beta_n \cdot (t - \tau)}, \quad (1)$$

где  $q_n$  – удельное газовыделение,  $\text{м}^3/\text{мин.м}^2$ ,  $q_{n,0}$  - мгновенное удельное газовыделение,  $\text{м}^3/\text{мин.м}^2$ ,  $\beta_n$  - показатель спада газовыделения, 1/час,  $t$  – текущее время, отсчитываемое от начала снятия стружки, час,  $\tau$  - момент образования новой поверхности в результате снятия стружки на расстоянии  $l(\tau)$  от начала лавы, м. Расстояние до некоторой точки очистного забоя и время прихода в нее комбайна (рис. 1) связаны соотношением

$$\tau = \gamma \cdot m \cdot h \cdot l(\tau)/A, \quad (2)$$

где  $\gamma$  - плотность угля,  $\text{т}/\text{м}^3$ ,  $m$  – вынимаемая мощность пласта, м,  $A$  – нагрузка на забой,  $\text{т}/\text{час}$ .

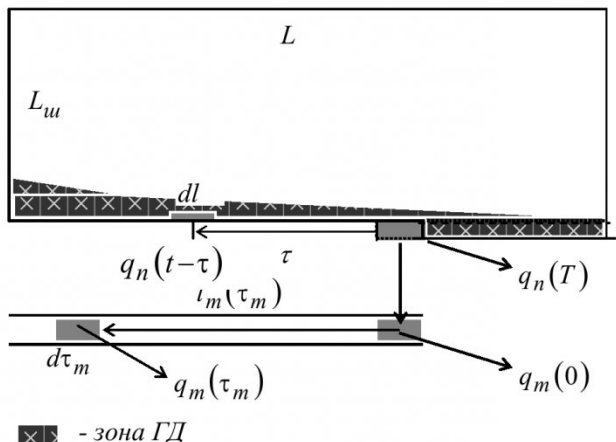


Рис. 1. Расчетная схема

В соответствии с (1) и (2) газовыделение с поверхности забоя на текущий момент времени составит

$$I_n(t) = m \int_{l(t)-L}^{l(t)} q_{n,0} \cdot e^{-\beta_n \gamma m h(l(t)-l(\tau))/A} dl(\tau) \quad (3)$$

где  $I_n$  - газовыделение с поверхности забоя,  $\text{м}^3/\text{мин}$ ,  $l$  - расстояние, пройденное комбайном за время  $t$ , м,  $L$  - длина лавы, м.

При постоянных по длине лавы параметрах выражение (3) приводится к виду

$$I_n(t) = \frac{q_{n,0} \cdot A}{\gamma \cdot \beta_n \cdot h} \left( 1 - e^{-\beta_n \cdot \gamma \cdot t \cdot h \cdot L/A} \right). \quad (4)$$

Из (4) следует, если величины  $q_{n,0}$ ,  $\beta_n$  и  $A$  постоянны, то газовыделение из пласта постоянно в течение всего периода снятия стружки  $T$  и равно

$$I_n(T) = \frac{q_{n,0} A}{\gamma \beta_n h} \left( 1 - e^{-\beta_n T} \right), \quad T = \frac{\gamma m h L}{A}. \quad (5)$$

Согласно уравнению баланса (рис. 2)

$$\begin{cases} Q_n = Q_\partial \\ Q_n = 60 \int_0^{24} q_{n,0} \cdot e^{-\beta_n \cdot t} dt \\ Q_\partial = 0,5 \gamma \cdot L_{\partial,24} \cdot (X - X_0) \end{cases}$$

получим оценку отношения

$$\frac{q_{n,0}}{\beta_n} = \frac{\gamma \cdot L_{\partial,24} \cdot (X - X_0)}{120 \left( 1 - e^{-24 \beta_n} \right)}, \quad (6)$$

где  $Q_n$  - удельное газовыделение с поверхности остановленного на сутки забоя,  $\text{м}^3/\text{м}^2$ ,  $Q_\partial$  - количество газа, выделившегося через  $1 \text{ м}^2$  поверхности из зоны газового дренирования ( $\Gamma\Delta$ ), аппроксимируемой прямой линией,  $\text{м}^3/\text{м}^2$ ,  $L_{\partial,24}$  - протяженность зоны  $\Gamma\Delta$ , развивающаяся за сутки при остановленном забое, м,  $X, X_0$  - природная и остаточная газоносность пласта,  $\text{м}^3/\text{т}$ , множитель 60 приводит в соответствие размерности величины удельного газовыделения и времени.

При известном газовыделении с поверхности разрабатываемого пласта, например, известном его среднем значении  $\bar{I}_n$  за период снятия струж-

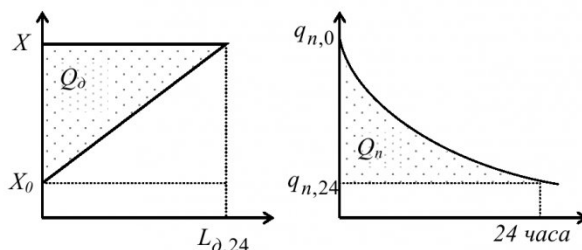


Рис. 2. Баланс газовыделения с поверхности забоя

ки, формулы (5), (6) позволяют получить оценку показателя его спада. Полагая,  $e^{-24\beta_n} \ll 1$ , получим

$$\beta_n = \frac{1}{T} \cdot \ln \frac{I_0}{I_0 - \bar{I}_n}, \quad I_0 = \frac{A \cdot L_{\partial,24}}{120 h} (X - X_0).$$

Если известны величины  $q_{n,0}$ ,  $q_{n,24}$ , то

$$\beta_n = \frac{120}{\gamma \cdot L_{\partial,24}} \frac{q_{n,0} - q_{n,24}}{X - X_0},$$

где  $q_{n,24}$  - удельное газовыделение с поверхности забоя через сутки после его остановки,  $\text{м}^3/\text{мин} \cdot \text{м}^2$ .

Процесс газовыделения из транспортируемого угля моделируем аналогично газовыделению с поверхности забоя. При этом полагаем, что отбитый уголь практически сразу погружается на транспортер. Тогда получим

$$q_m = q_m(\tau_m) = q_{m,0} \cdot e^{-\beta_m \tau_m}, \quad (7)$$

где  $q_m$  - удельное газовыделение через поверхность транспортируемого угля,  $\text{м}^3/\text{мин} \cdot \text{м}^2$ ,  $q_{m,0}$  - его мгновенное удельное газовыделение,  $\text{м}^3/\text{мин} \cdot \text{м}^2$ ,  $\beta_m$  - показатель его газоистощения, 1/час,  $\tau_m$  - время, прошедшее с момента отбойки некоторой массы угля.

На основании выражения (7) газовыделение через общую поверхность кусков отбитого и транспортируемого угля на момент времени  $t$  составит

$$I_m(t) = \int_S q_{m,0} \cdot e^{-\beta_m \tau_m} ds, \quad (8)$$

где  $I_m$  - газовыделение из всей массы угля, распределенного по транспортеру,  $\text{м}^3/\text{мин}$ ,  $ds$  - элементарная его поверхность,  $\text{м}^2$ ,  $(S)$  - общая поверхность всех кусков угля на транспортере,  $\text{м}^2$ .

Элементарную поверхность определим следующим образом. Пусть за время  $\tau_m$  отбито и перегружено на транспортер  $N$  кусков угля со средним радиусом  $r$ . Тогда их общая поверхность  $S$  и объем  $V$  составят

$$S = 4\pi r^2 N, \quad V = \frac{4\pi r^3 N}{3} = \frac{A \tau_m}{\gamma}, \quad N = \frac{3A \tau_m}{4\pi r^3 \gamma} \quad (9)$$

Согласно (9), исключая параметр  $N$ , получим формулу для расчета общей поверхности

$$S = \frac{3A \cdot \tau_m}{r \cdot \gamma}. \quad (10)$$

Дифференцируя выражение (10), получим

$$ds = \frac{3A}{r \cdot \gamma} \cdot d\tau_m = \frac{3A}{r \cdot \gamma} \cdot \frac{dl_m(\tau_m)}{v_m}, \quad (11)$$

где  $l_m$  - расстояние, пройденное транспортером за время  $\tau_m$ , м,  $v_m$  - скорость транспортера, м/час.

С учетом (11) выражение (8) запишется

$$I_m(t) = \frac{3}{rv_m\gamma} \int_0^{L_m} A \cdot q_{m,0} \cdot e^{-\beta_m l_m(\tau_m)/v_m} dl_m(\tau_m) \quad (12)$$

где  $L_m = L_{uu} + \frac{A \cdot t}{\gamma \cdot m \cdot h}$  - протяженность пути транспортировки, м,  $L_{uu}$  - длина конвейерного штрука, м.

Для постоянных параметров  $A$ ,  $q_{m,0}$ ,  $\beta_m$  выражение (12) запишется

$$I_m(t) = \frac{3 q_{m,0} \cdot A}{\gamma \cdot \beta_m \cdot r} \cdot \left( 1 - e^{-\beta_m \cdot (T_{uu} + T_\kappa)} \right), \quad (13)$$

где  $T_{uu} = L_{uu}/v_m$  - время транспортирования угля через конвейерный штerek, час,

$$T_\kappa = \frac{A \cdot t}{\gamma \cdot m \cdot h \cdot v_m} \quad \text{- время транспортирования}$$

угля через призабойное пространство от положения комбайна на момент времени  $t$ , час.

Согласно (13), своего максимального значения газовыделение из транспортируемого угля достигает при полном снятии стружки, когда протяженность пути транспортирования максимальна и составляет  $L_{uu} + L$ , что соответствует максимальному периоду транспортирования  $T_m = (L_{uu} + L)/v_m$ . С учетом этого получим

$$I_m(T_m) = \frac{3 q_{m,0} \cdot A}{\gamma \cdot \beta_m \cdot r} \left( 1 - e^{-\beta_m \cdot T_m} \right). \quad (14)$$

Для оценки величины  $q_{m,0} / \beta_m$  воспользуемся результатами работы [2], согласно которых газоистощение куска угля наступает в пределах 3-х часов с момента отбойки. Тогда по аналогии с уравнением баланса и выражением (6) получим

$$60 \cdot 4\pi r^2 q_{m,0} \int_0^3 e^{-\beta_m t} dt = \frac{4}{3} \pi r^3 \gamma (X_m - X_{m,0}) \quad (15)$$

где  $X_{m,0} = k_x \cdot X$ ,  $k_x \leq 0,02$  - количество химически связанного метана,  $\text{м}^3/\text{т}$ .

$$X_m = \begin{cases} \frac{h}{2 L_{\partial,T}} (X - X_0), & h \leq L_{\partial,T} \\ \left( 1 - \frac{L_{\partial,T}}{2h} \right) (X - X_0), & h > L_{\partial,T} \end{cases} \quad (16)$$

где  $X_m$  - газосодержание куска угля,  $\text{м}^3/\text{т}$ , рассчитывается с учетом газоистощения зоны снятия стружки за период времени  $T$ ,  $L_{\partial,T}$  - протяженность зоны ГД, развивающейся за период снятия стружки.

С учетом (14) и малости величины  $e^{-3\beta_m}$

выражение (15) дает оценку

$$\frac{q_{m,0}}{\beta_m} = \frac{\gamma \cdot r}{180} [k_m(X - X_0) - k_x X],$$

$$k_m = \begin{cases} \frac{h}{2 L_{\partial,T}}, & h \leq L_{\partial,T} \\ 1 - \frac{L_{\partial,T}}{2h}, & h > L_{\partial,T} \end{cases} \quad (17)$$

Развитие зоны ГД подчиняется закону экспоненциального насыщения [1]

$$L_\partial = L_{max} \cdot (1 - e^{-\alpha \cdot t}), \quad (18)$$

где  $L_{max}$  - максимальная протяженность зоны ГД, достигаемая при длительной остановке забоя, м,  $\alpha$  - показатель ее роста, 1/час. Тогда, в соответствии с (18), параметры  $L_{\partial,T}$ ,  $L_{\partial,24}$  определяются при  $t = T$  и  $t = 24$  часа.

Оценим, какую долю составляет газовыделение из транспортируемого угля по отношению к газовыделению с поверхности забоя. С этой целью уравнение баланса применим для протяженности зоны ГД, развивающейся в течение периода снятия стружки. В этом случае на основании формул (5), (6), (14), (17) получим

$$\left. \begin{aligned} \frac{q_{n,0}}{\beta_n} &= \frac{\gamma L_{\partial,T}}{120} \frac{X - X_0}{1 - e^{-\beta_n T}}, \quad I(T) = \frac{AL_{\partial,T}}{120h} (X - X_0) \\ d &= \frac{I_m}{I_n} = \frac{2h}{L_{\partial,T}} \frac{k_m(X - X_0) - k_x X}{X - X_0} \cdot \frac{1 - e^{-\beta_m T_m}}{1 - e^{-3\beta_m}} \end{aligned} \right\} \quad (19)$$

Пренебрегая в (19) малыми величинами  $k_x \cdot X$ ,  $e^{-3\beta_m}$  и полагая  $\beta_m = 1$  (только в этом случае обеспечивается малое значение величины  $e^{-3\beta_m}$ ), получим

$$d = k_T \left( 1 - e^{-T_m} \right), \quad k_T = \begin{cases} \left( \frac{h}{L_{\partial,T}} \right)^2, & h \leq L_{\partial,T} \\ \frac{2h}{L_{\partial,T}} - 1, & h > L_{\partial,T} \end{cases} \quad (20)$$

где  $k_T$  - характеризует степень газоистощения пласта в пределах зоны снятия стружки за период ее снятия.

В соответствии с (20) доля газовыделения из транспортируемого угля в общем газовыделении из разрабатываемого пласта составит

$$d_m = \frac{I_m}{I_m + I_n} = \frac{d}{1 + d}. \quad (21)$$

На рис. 3 приведены графики изменения доли газовыделения из транспортируемого угля в зависимости от отношения протяженности зоны ГД, развивающейся за период снятия стружки, к ее ши-

рине и периода транспортирования. Как следует из анализа (20), (21) и графиков (рис. 3), с уменьшением протяженности зоны ГД, развивающейся за период снятия стружки, значение доли газовыделения из транспортируемого угля монотонно растет и составляет около 60% для  $L_{\partial,T} = 0.5h$ . Причем ее рост в большей мере зависит от отношения  $L_{\partial,T} / h$ , чем от периода транспортирования  $T_m$ .

Если известно среднее значение газовыделения из транспортируемого в пределах конвейерного штрека угля  $\bar{I}_{m,uu}$ , то из формул (14) и (17) с учетом предположений, сделанных при выводе формулы (20), следует оценка начального газосодержания кусков отбитого угля  $X_m$

$$X_m = \frac{60 \bar{I}_{m,uu} \cdot e^{T_{m,3}}}{A \cdot (1 - e^{-T_{m,uu}})}, \quad (22)$$

где  $T_{m,3}$  - время транспортирования угля через все призабойное пространство.

Следует отметить, что использование в формулах значения газоносности пласта  $X$  справедливо в том случае, если за период снятия стружки протяженность зоны ГД не превышает ее ширины. В противном случае вместо величины  $X$  следует использовать величину  $k_T X$ , в которой через поправочный коэффициент учитывается газоистощение пласта за зоной снятия стружки

$$k_T = \begin{cases} 1, & L_{\partial,T} \leq h \\ 1 - \frac{(L_{\partial,T} - h)^2}{2h \cdot L_{\partial,T}}, & h < L_{\partial,T} \leq 2h \\ \frac{L_{\partial,T} + h}{2L_{\partial,T}}, & L_{\partial,T} > 2h \end{cases} \quad (23)$$

Оценка величин  $\bar{I}_n$ ,  $\bar{I}_{m,uu}$  для комбинированных схем проветривания выемочного участка производится по оперативным данным мониторинга аэрогазовой обстановки, регистрируемых датчиками метана. Концентрация метана измеряется на исходящей струе, в 10-20 м от очистного забоя и на газоотсасывающем вентиляторе (рис. 4). Полагая, что разрабатываемый пласт отдает газ в выработанное пространство пропорционально коэффициенту воздухораспределения  $k_p$ , запишем аэрогазовый баланс выемочного участка (рис. 4):

$$I_u = I_{m,uu} + (1 - k_p)I_2, \quad I_m = I_{m,3} + I_{m,uu},$$

$$I_u + I_{B\Gamma\Gamma} = I_n + I_m + I_{B\Gamma} + I_{ex},$$

$$Q_{B\Gamma} = Q_{ex} - Q_u, \quad I_l = (1 - k_p) \cdot I_2,$$

$$I_2 = I_n + I_{m,3} + I_{ex}, \quad I_l = C \cdot Q_u, \quad (24)$$

где  $I_u = C_u \cdot Q_u$  - расход метана на исходя-

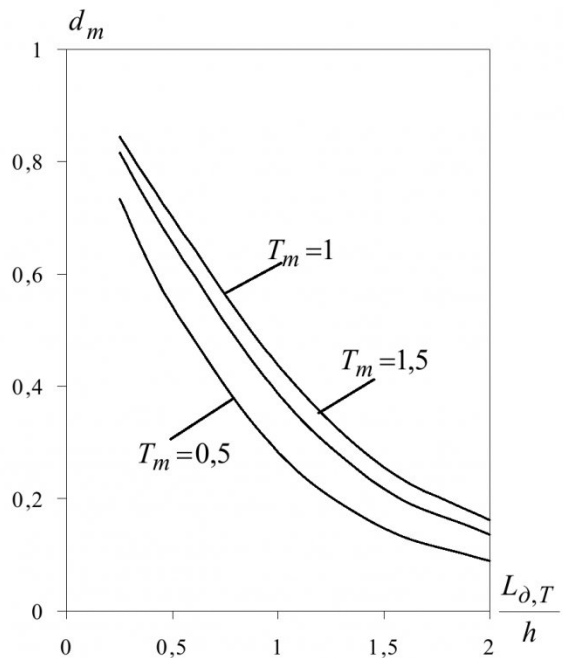
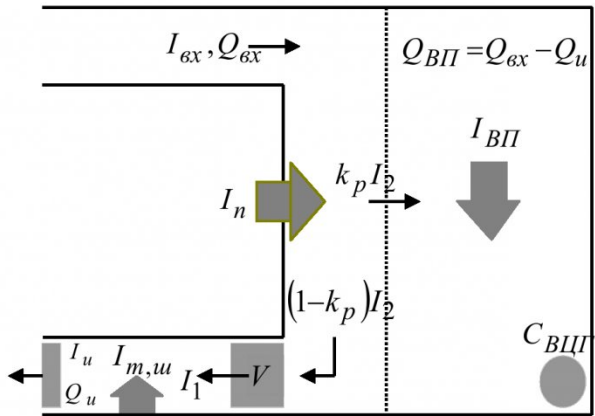


Рис. 3. Доля газовыделения

щей струе,  $\text{м}^3/\text{мин}$ ,  $I_{ex} = C_{ex} \cdot Q_{ex}$  - газосодержание в смеси, подаваемой в очистной забой,  $\text{м}^3/\text{мин}$ ,  $I_{B\Gamma}$  - газовыделение из под- и надработанных массивов в выработанное пространство,  $\text{м}^3/\text{мин}$ ,  $I_{B\Gamma\Gamma} = C_{B\Gamma\Gamma} \cdot Q_{B\Gamma}$  - расход метана в газоотсасывающей скважине,  $\text{м}^3/\text{мин}$ ,  $I_l$  - расход метана, поступающий в конвейерный штрек,  $\text{м}^3/\text{мин}$ ,  $I_n$ ,  $I_{m,3}$ ,  $I_{m,uu}$  - газовыделение со всей поверхности забоя и из конвейерного штрека угля,  $\text{м}^3/\text{мин}$ ,  $C$ ,  $C_u$ ,  $C_{B\Gamma\Gamma}$  - концентрации метана, измеряемые датчиками в 10-20 м от забоя, на исходящей струе и газоотсасывающем вентиляторе, %,  $Q_{ex}$ ,  $Q_u$ ,  $Q_{B\Gamma}$  - расходы воздуха на входе в очистной забой, на исходящей струе и в выработанном про-



■ - место установки датчика метана

Рис. 4. Схема аэрогазового баланса выемочного участка

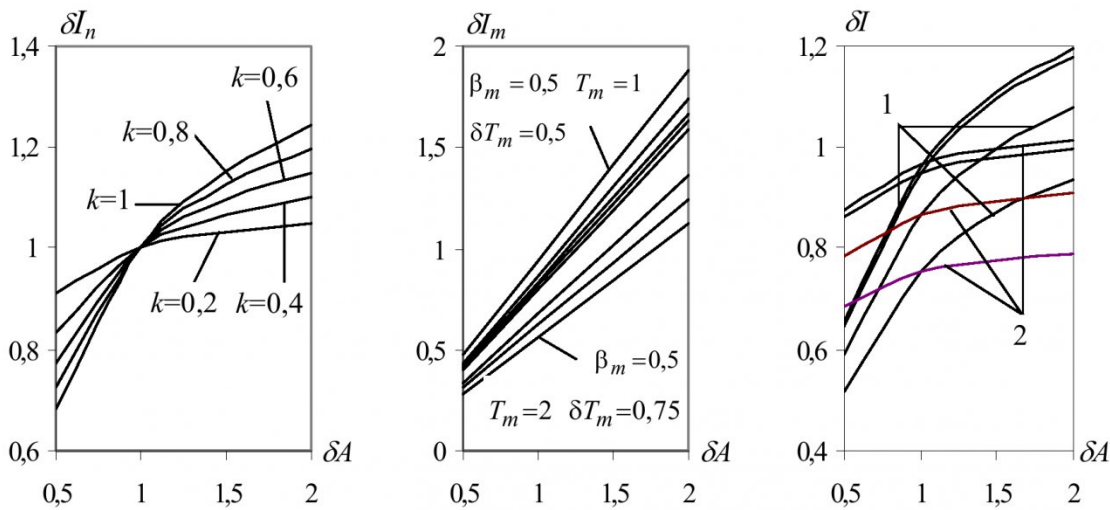


Рис. 5. Прогноз газовыделения в очистной выработке в зависимости от нагрузки

странстве, м<sup>3</sup>/мин.

В результате решения системы (24) получим

$$\left. \begin{aligned} I_n &= \frac{I}{1-k_p} + d_0(I - I_u) - I_{ex}, \quad d_0 = \frac{I_{m,3}}{I_{m,uu}} \\ I_{m,uu} &= \frac{1-d_0(1-k_p)}{1+d_0(1-k_p)} I_u, \quad I = \frac{CQ_u}{1-C} \\ I_{BП} &= I_u + I_{BЦГ} - I_n - I_{ex} - (1+d_0)I_{m,uu} \end{aligned} \right\} \quad (25)$$

Оценку значения величины  $d_0$ , характеризующую отношение газовыделения из транспортируемого угля в зоне очистного забоя и конвейерного штрека, получим, используя формулу (14), полагая, как и прежде,  $\beta_m = 1$ ,

$$d_0 = \frac{e^{T_{m,3}} - 1}{1 - e^{-T_{m,uu}}}. \quad (26)$$

Для сверки расчетных величин используем уравнения, описывающие аэрогазодинамику в зоне расположения датчика, устанавливаемого в 10-20 м от забоя

$$V \frac{dC}{dt} = I_n + I_m + I_{BП} + I_{ex} - I_u - I_{BЦГ}, \quad (27)$$

а для определения объема этой зоны  $V$  используем это же уравнение (27), но для остановленного забоя, когда газовыделение из транспортируемого угля равно нулю. В случае движущегося забоя уравнение (27) позволяет оценить суммарный вклад источников газовыделения - поверхности забоя, транспортируемого угля, под- и надработанного массива.

Для практического использования весьма важен прогнозирующий аспект полученных оценок газовыделения (5) и (14), особенно их применение для оценки газовыделения в очистной выработке для повышенных нагрузок на забой и, в частности, максимально возможной в конкретной горно-

технологической обстановке. В соответствии с (5) и (14) при условии неизменности газокинетических характеристик пласта получим систему:

$$\begin{aligned} I_m^* &= I_m(T_m^*) = f_m \frac{A^*}{A} I_m(T_m), \\ f_m &= \frac{1 - e^{-\beta_m \cdot T_m^*}}{1 - e^{-\beta_m \cdot T_m}}, \quad I_n^* = I_n(T^*) = f_n \frac{A^*}{A} I_n(T), \\ f_n &= \frac{1 - e^{-k \cdot T^*/T}}{1 - e^{-k}}, \quad k = \beta_n T, \\ I^* &= I(T^*) = I_n^* + I_m^* = f_n f \frac{A^*}{A} I(T), \\ f &= \frac{1 + k_T \cdot \left(1 - e^{-\beta_m \cdot T_m^*}\right)}{1 + k_T \cdot \left(1 - e^{-\beta_m \cdot T_m}\right)}, \end{aligned} \quad (28)$$

где  $A^*$ ,  $T^*$  - планируемая повышенная нагрузка на забой, т/час, и соответствующий ей период снятия стружки, час,  $T_m^*$  - период транспортирования угля для повышенной нагрузки, час,  $I$ ,  $I^*$  - текущее и прогнозируемое газовыделение в очистном забое, м<sup>3</sup>/мин.

Работу прогнозных оценок (28) иллюстрирует рис. 5. Графики демонстрируют относительное изменение газовыделения из его источников и в целом по выработке

$$\left( \delta I_n = I_n^* / I_n, \quad \delta I_m = I_m^* / I_m, \quad \delta I = I^* / I \right)$$

в зависимости от соотношения планируемой и текущей нагрузок  $\delta A = A^* / A$ . Графики газовыделения в целом по выработке получены при следующих параметрах.

Серия графиков под номером 1:

$$k=1; \quad \beta_m=0.5; \quad k_T=0.25 \dots 3; \quad T_m=1 \dots 2.$$

Серия графиков под номером 2:

$$k=0.2; \quad \beta_m=0.5 \dots 1.5; \quad k_T=0.25 \dots 3; \quad T_m=2.$$

При этом полагалось уменьшение периода транспортирования в два раза.

Из формального анализа функций  $f, f_n, f_m$ , учитывающего физический смысл входящих в них параметров и подтверждаемого графическими иллюстрациями (рис. 5) следует.

1. Оптимальным значением показателя газоистощения кусков угля является  $\beta_m=1$ . Согласно (6) это значение дает 95% газоистощения за 3 часа. Для сравнения,  $\beta_m=1.5$  дает более 99% газоистощения, что превышает физическую границу, обусловленную химически сорбированным метаном, составляющим менее 2% от природной газоносности пласта.

2. Верхним значением функции  $f_m$  является  $f_m = 1$ . В действительности это значение завышено. Так для реальных периодов транспортирования угля  $T_m$  и технологических условий их снижения при возрастании нагрузок на забой ее значение гораздо меньше единицы. В частности, при повышении нагрузки в два раза ( $A^*/A=2$ ) и сокращении периода транспортирования угля в два раза ( $T_m^*/T_m=0.5$ ) имеем

$T_m$ , час	2	1,5	1
$f_m$	0,73	0,67	0,6
$I_m^*/I_m$	1,45	1,35	1,2
Прирост газообильности, %	45	35	20

Как видно из цифровых данных, с уменьшением периода транспортирования угля все меньше оказывается увеличение нагрузки на забой.

3. Для монотонной функции  $f$  вне зависимости от коэффициента  $k_m$  справедливо неравенство  $f_m \leq f \leq 1$ , но поскольку в качестве оценки функции  $f_m$  использована единица, то и  $f=1$ .

4. Полагая в (1)  $\beta_n=0.1$ ,  $\beta_n=0.2$ , для остановленного на сутки забоя получим снижение газовыделения с его поверхности до величин менее 9 и 1% соответственно. Явно показатель  $\beta_n=0.1$  предпочтительней, поскольку дает вполне реальное снижение газовыделения. Будем полагать, что это значение является его нижней границей. С другой стороны, функция  $f_n=f_n(k)$ , где  $k=\beta_n T$ ,  $\beta_n \geq 0.1$ , при любых  $k$  и  $T^*< T$ , удовле-

твляет условию:  $T^*/T \leq f_n < 1$ , а ее максимальное значение 1 достигается для  $k \rightarrow \infty$ , не имеющего физического смысла. Вследствие этого требуется дополнительный анализ для установления верхней физически приемлемой границы  $f_n$ . Рассмотрим поведение этой функции при росте нагрузки на забой в два раза ( $A^*/A=2$ ) и, соответственно, сокращении периода снятия стружки в два раза ( $T^*/T=0.5$ ). В этом случае имеем

$T$ , час	10	5	1
$f_n$	0,63	0,56	0,5
$I_n^*/I_n$	1,26	1,12	1
Прирост газообильности, %	26	12	0

Из цифровых данных следует, что оценка  $f=0,63$ , полученная для  $T=10$  часам, вполне может быть использована в качестве верхней оценки, хотя взятый за основу период явно завышен. В то же время она мало отличается от оценки, полученной при периоде  $T=5$  часам, который соответствует забоям средней производительности. Этую же оценку ( $f=0,63$ ) можно получить, если положить  $k=1$  ( $\beta_n T=1$ ). Таким образом, в качестве верхней границы функции  $f(k)$  принимаем  $f(1)$ .

Проведенный анализ позволяет получить обоснованные прогнозные оценки газовыделения в очистном забое при повышении нагрузки на забой, которые требуют минимального числа данных

$$I_m^* < \frac{A^*}{A} I_m, \quad I_n^* \leq 1,6 \frac{A^*}{A} I_n \left(1 - e^{-T^*/T}\right),$$

$$I^* \leq 1,6 \frac{A^*}{A} \cdot I \cdot \left(1 - e^{-T^*/T}\right).$$

Интеграция полученных прогнозных оценок газовыделения в очистной выработке и статистического анализа и обработки оперативных данных по аэрогазовой обстановке на выемочном участке, полученных в ходе снятия серий стружек, позволяют разработать различные сценарии прогноза газообильности очистного забоя и выработки. Эти сценарии опираются на оценку текущего их состояния по фактическим данным и реализуются непосредственно в ходе отработки выемочного столба.

## СПИСОК ЛИТЕРАТУРЫ

- Преслер В.Т. Информационно-математическая среда прогноза газопроявлений в угольных шахтах. – Кемерово: Кузбассвязиздат, 2000. –228 с.
- Алексеев А.Д., Айруни А.Т., Зверев И.В. и др. Распад твердых углегазовых растворов // Физико-технические горные проблемы, 1994. - №3, - с. 65-75.

□ Автор статьи:

Преслер  
Вильгельм Теобальдович  
- докт.техн.наук, проф. каф. ИиАПС,  
ведущий научный сотрудник Инсти-  
тута угля и углехимии СО РАН